

Министерство Образования и Науки РФ  
Российский Фонд Фундаментальных Исследований  
Казанский (Приволжский) федеральный университет  
Международный магнитографический центр СО РАН

---

Международный симпозиум  
**«МАГНИТНЫЙ РЕЗОНАНС:  
ОТ ФУНДАМЕНТАЛЬНЫХ  
ИССЛЕДОВАНИЙ К ПРАКТИЧЕСКИМ  
ПРИЛОЖЕНИЯМ»**

*Сборник тезисов*

Казань

21 – 23 апреля 2016 г.

В.Я. Волков<sup>1</sup>, Б.В. Сахаров<sup>2</sup>, Н.М. Хасанова<sup>3</sup>

<sup>1</sup> Московский технологический университет, г. Москва

<sup>2</sup> ГНЦ прикладной микробиологии и биотехнологии, г. Оболенск

<sup>3</sup> Казанский федеральный университет, г. Казань

[volkovobolensk@mail.ru](mailto:volkovobolensk@mail.ru)

#### Исследование тяжёлых нефтей методом ЯМР релаксации в низких полях

В настоящей работе продолжены исследования направленные на создание метода оценки группового состава тяжёлых нефтей Волго-Уральского нефтегазового бассейна методом ЯМР с помощью разработанной ранее комбинированной импульсной последовательности ССИ+КПМГ [1]. Измерения проводили на ЯМР анализаторе «Протон 20М», производства ЗАО СКБ «Хроматэк» (<http://www.chromatec.ru>). Основные усилия были направлены на доказательство принадлежности твёрдофазной компоненты ССИ к протонам асфальтенов и улучшения точности оценки содержания асфальтенов. В образцах с двух скважин Ашальчинского месторождения было определено точное содержание асфальтенов методом осаждения гексаном и получена деасфальтизированная нефть (мальтеновая фракция). Эту фракцию использовали для получения образцов с заданным содержанием асфальтенов путём смешивания с образцами исх. одной нефти.

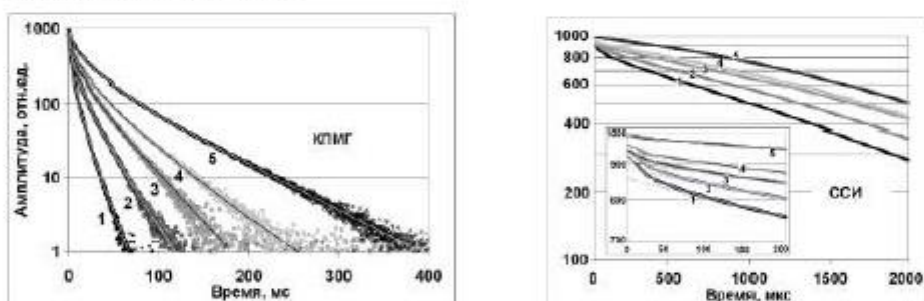


Рис.1. а) Спады поперечной намагниченности(КПМГ) и б) ССИ образцов нефти (1,2), мальтенов (5), и образцов (3,4), полученных смешиванием нефти (2) и мальтенов (5).

Обработку данных, представленных на рис. 1 а, проводили путём аппроксимации огибающих сигналов за в серии КПМГ суммой 4-х экспонент (сплошные тонкие линии), а ССИ (рис. 1б) - набором функций, входящих в уравнение 1:

$$I(t) = A_{s0} * ((1 - f_{sem}) * \exp((-t / T_{1sem})^2) \sin(bt) / (bt) + f_{sem} * \exp((-t / T_{2sem})) \\ + A_{m0} * (\exp(-t / T_{2m}) + A_{10} * (\exp(-t / T_{21}) * \exp((-t / T_{21})^2)) \quad (1)$$

где,  $A_{s0}$ ,  $A_{m0}$  и  $A_{10}$  - истинные амплитуды ( сразу по окончании 90 импульса, при  $t=0$ ) выделяемых компонент,  $T_{1s}$ ,  $T_{2sem}$  – времена поперечной релаксации, характеризующие

криSTALLИЧескую и аморфную составляющие твердой фазы с общей амплитудой  $A_{\text{с}}$  [1]. Населённости компонент рассчитывали по отношению к полной амплитуде ССИ при  $t = 0$  по формулам  $P_{\text{с}} = A_{\text{с}} / (A_{\text{с}} + A_{\text{ам}} + A_{\text{б}})$  - для ССИ, и  $P_{\text{т}} = A_{\text{т}} / (A_{\text{с}} + A_{\text{ам}} + A_{\text{б}})$  для КПМГ. Результаты обработки, приведенные в таблице позволяют утверждать, что твёрдофазная компонента относится к протонам асфальтенов, а её интенсивность определяется их количеством (коэффициент корреляции между  $P_{\text{т}}$  и  $C_{\text{асф}}$  составил:  $r^2 > 0,98$ .  $P_{\text{т}}$  хорошо коррелирует и с величиной сигнала свободного радикала  $R$ , измеренного методом ЭПР.

№	$C_{\text{асф}} \%$	$P_{\text{с}} \%$	$P_{\text{т}} \%$	$T2_{\text{а}} \text{ мк}$	$P_{\text{б}} \%$	$T2_{\text{б}} \text{ мк}$	$P_{\text{с}} \%$	$T2_{\text{с}} \text{ мк}$	$P_{\text{д}} \%$	$T2_{\text{д}} \text{ мк}$	$R, \text{ п.е.}$
1	7,7	7,2	19,2	12,3	32,1	5,2	27,7	1,7	14,2	0,37	1009
2	6,4	6,0	26,8	20,3	30,5	7,3	24,7	2,1	11,4	0,41	731
3	4,2	3,7	31,3	30,2	32,5	9,8	20,9	2,7	11,5	0,62	285
4	2,9	2,4	25,1	44,4	33,4	15,4	25,2	4,2	13,3	0,85	238
5	0,0	0,7	25,5	81,7	33,2	29,8	25,1	8,0	13,6	1,74	147
Среднее		25,6		32,4		24,7		12,8			

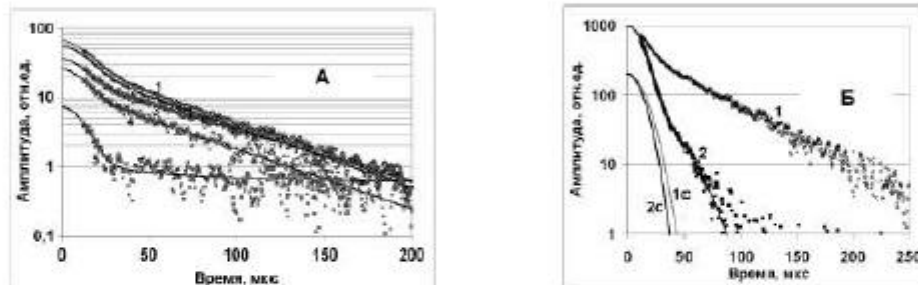


Рис.2. а) Форма твёрдофазных участков ССИ образцов (1-5) и б) ССИ нефти(1) в сравнении с ССИ порошка асфальтенов (2), выделенных из неё, сплошные линии 1 с и 2 с описывают вклад кристаллической составляющей в твёрдофазный сигнал образцов (1) и (2).

Особенности формы сигналов, представленных на рис. 2а и 2б, дополнительно указывают на их принадлежность к асфальтенам и согласуются с представлениями о существовании в нефти асфальтеновых структур с твёрдым ядром и аморфной областью вокруг него. Сопоставимость результатов, представленных выше в последней строке таблицы, с литературными данными SARA-анализа Ашальчинских нефтей указывают на перспективность предлагаемого подхода для создания ЯМР метода группового анализа нефтей, включая определение асфальтенов и других компонентов *in situ*.

1. Сахаров, Б.В. Совместное измерение и комбинированная обработка сигналов СИ и эха в серии КПМГ для оценки компонентного состава тяжёлых нефтей / Б.В. Сахаров, Н.М. Хасанова, В.Я. Волков // «Новые достижения ЯМР в структурных исследованиях». Сбтезисов VI Всероссийской конф, Казань, 6-9 апреля 2015. – С.67-68.